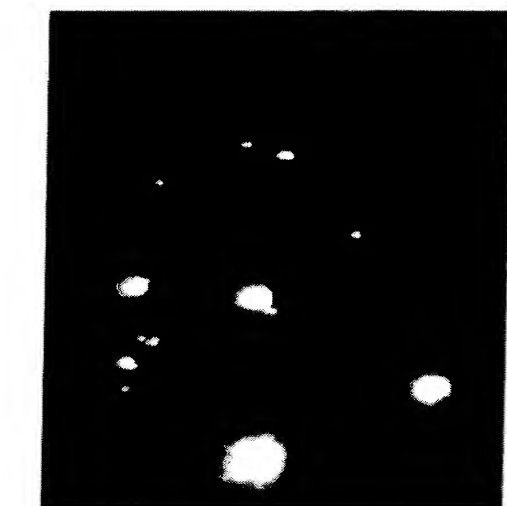


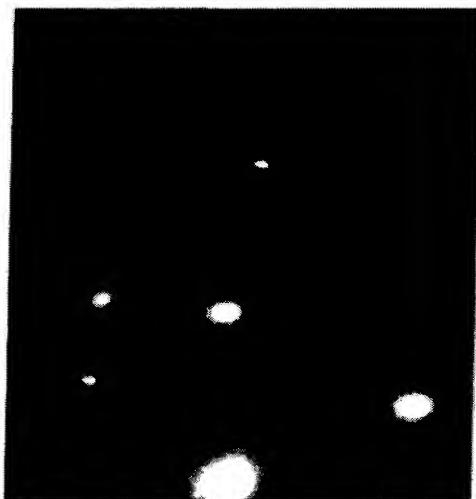
Fig 1



a)



b)



c)

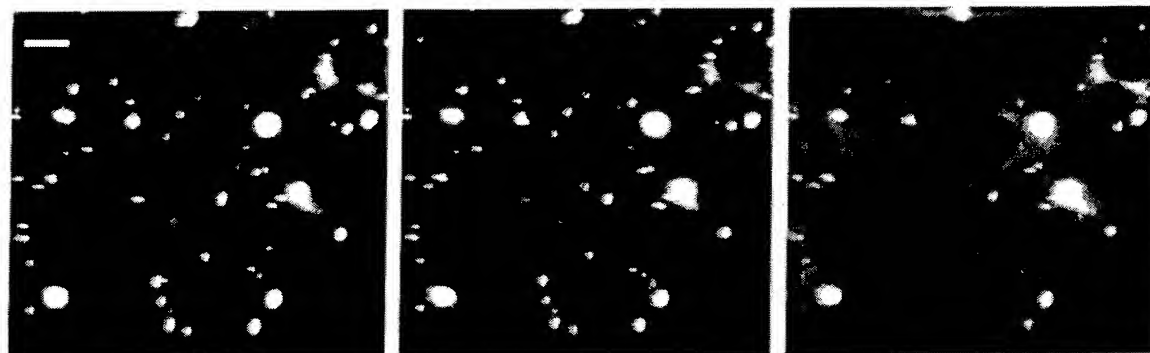


d)

10072036 030502

Fig 2

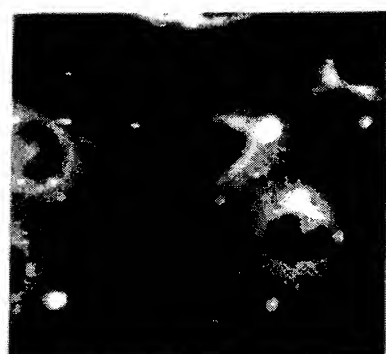
2



i

ii

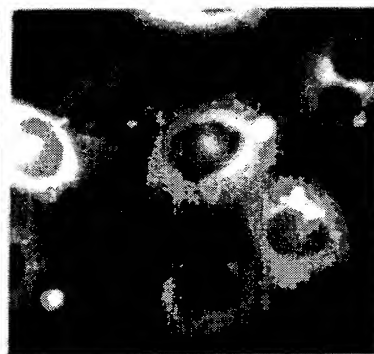
iii



iv



v



vi

10072036.020502

Fig 3

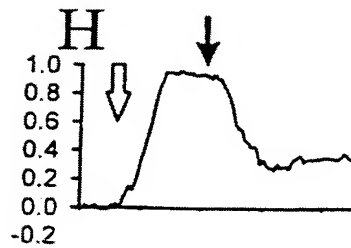
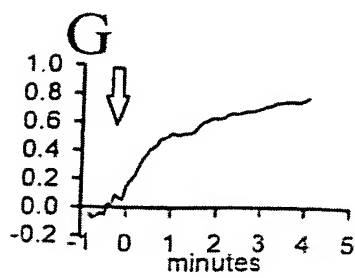
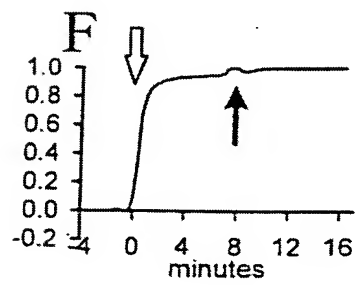
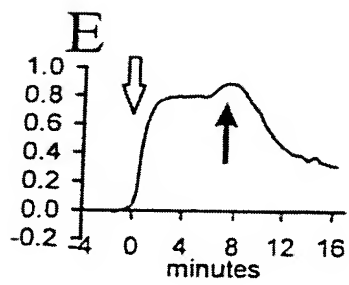
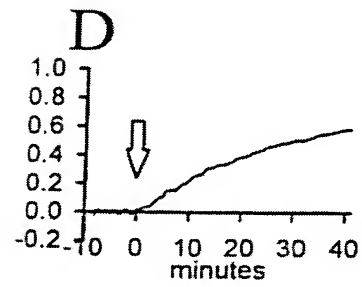
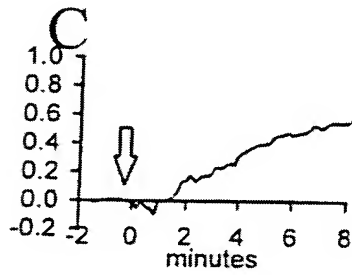
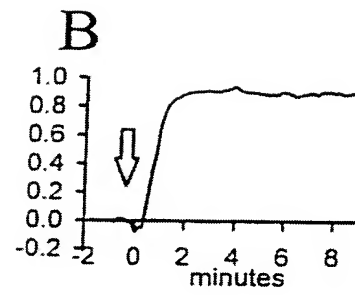
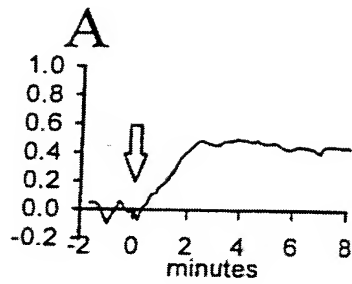


Fig 4

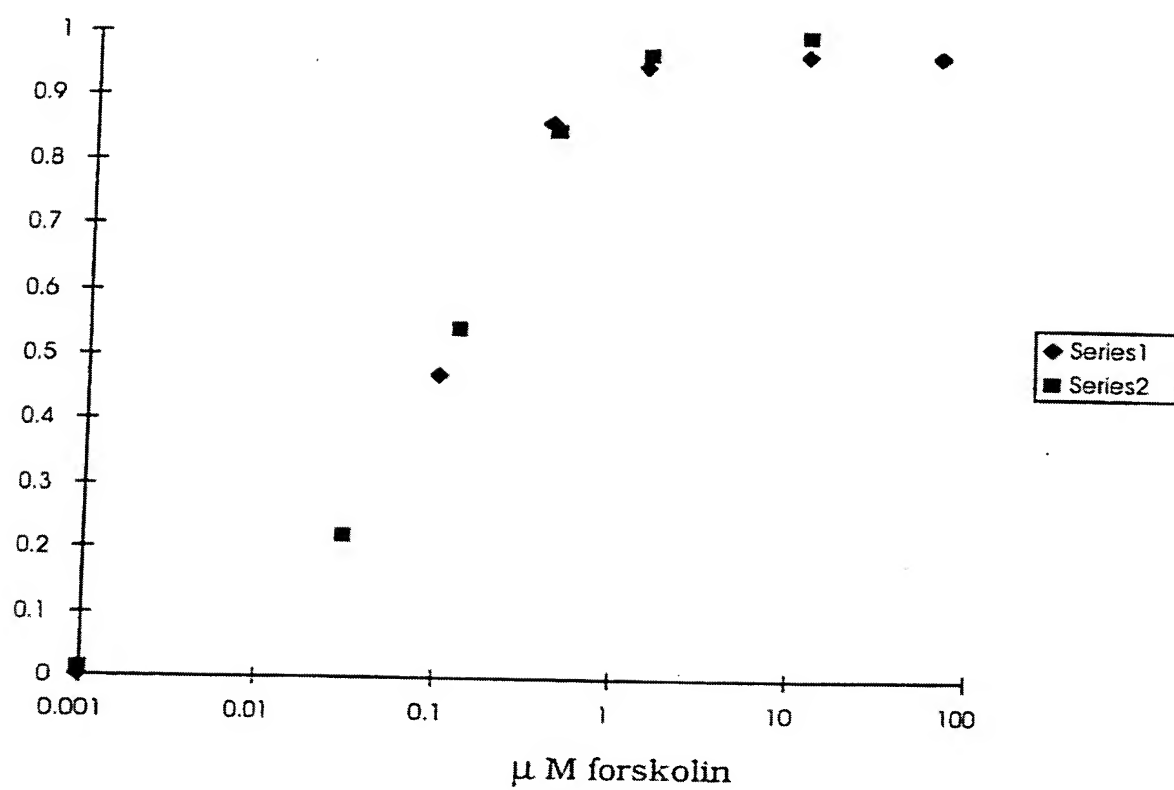


Fig 5

[forskolin] μ M	$t_{1/2\max}$ / s	t_{\max} / s
1	115 \pm 21	310 \pm 31
10	69 \pm 14	224 \pm 47
50	47 \pm 10	125 \pm 28

Fig 6

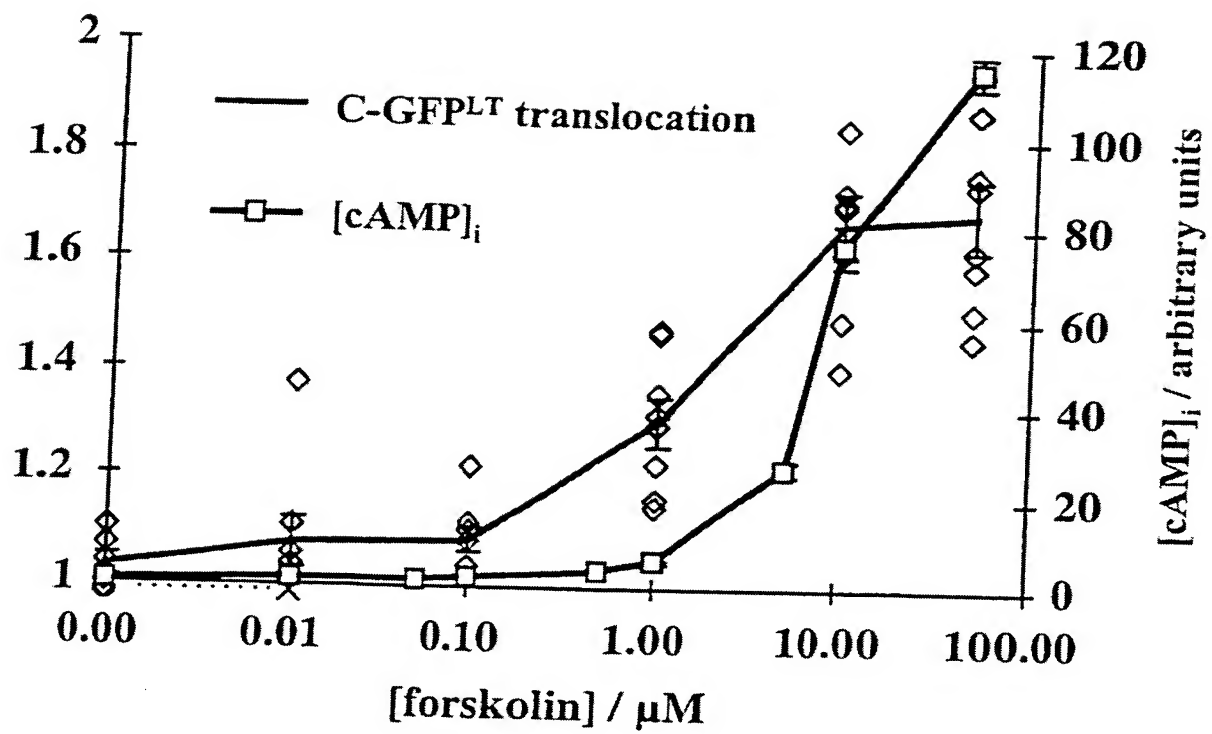
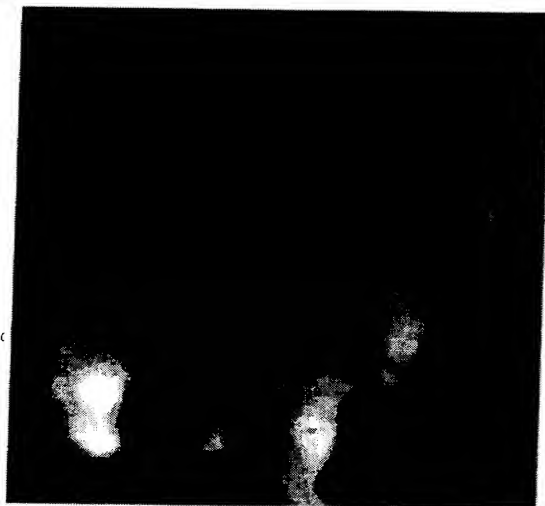
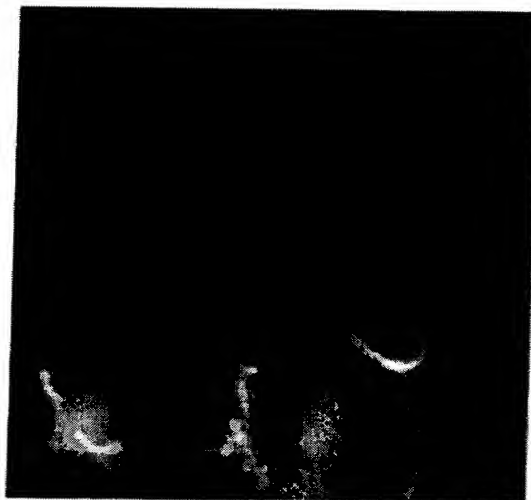


Fig 7



a)



b)



c)

10072036 020502

205020" 9E02/001

8

Fig 8

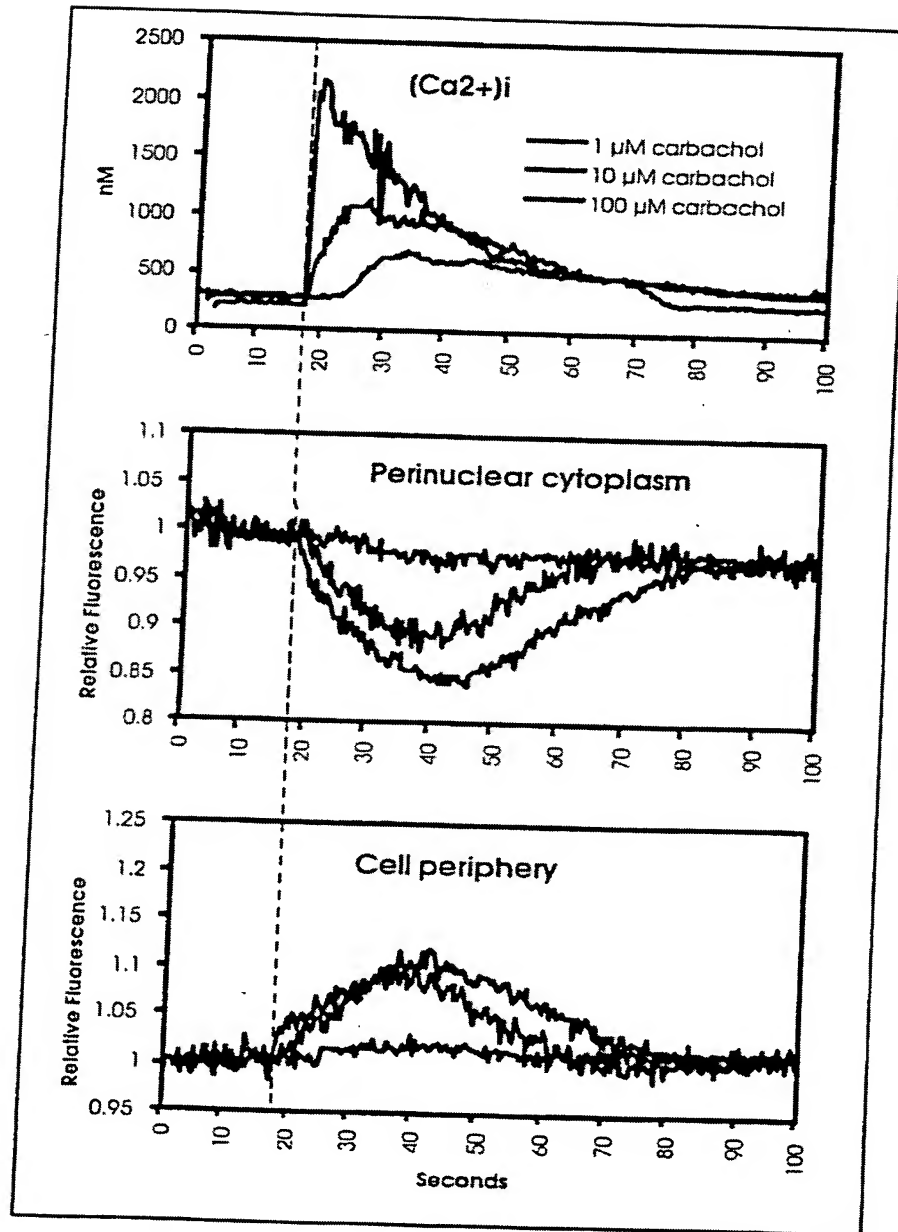
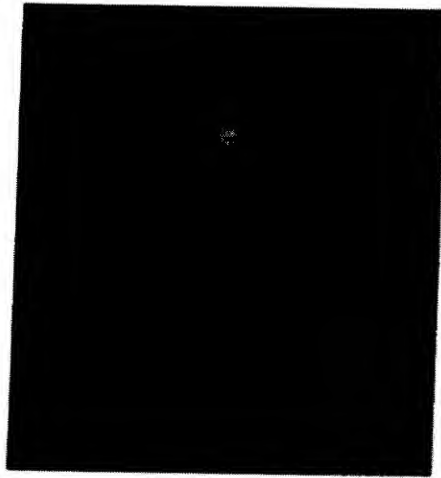
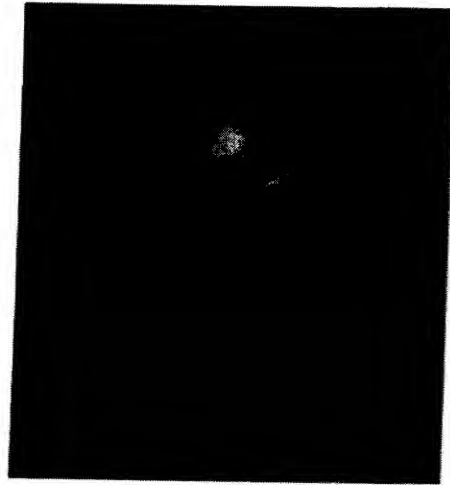


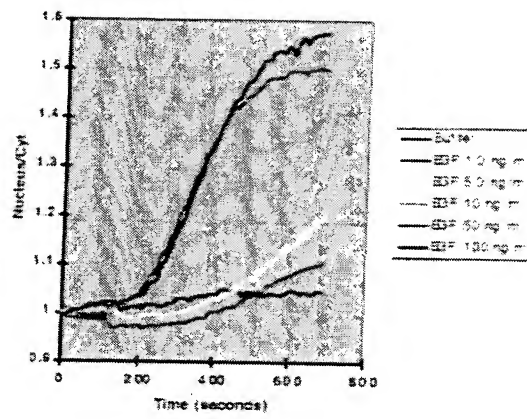
Fig 9



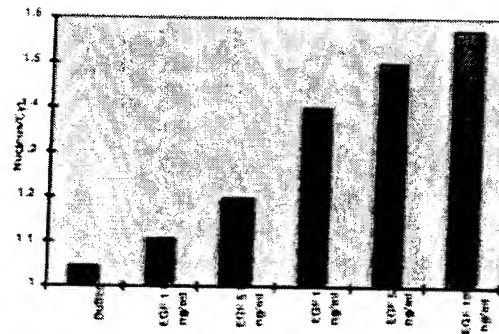
a)



b)



c)



d)

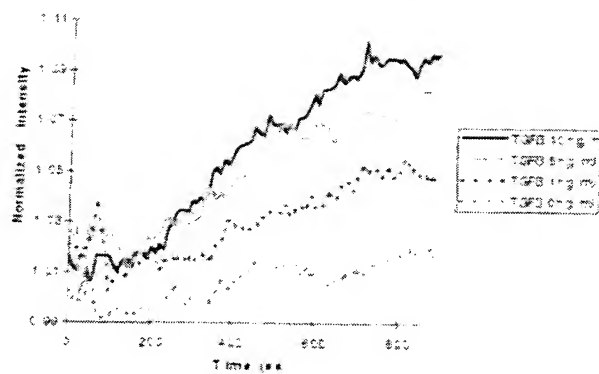
205020-9502/001

Fig 10

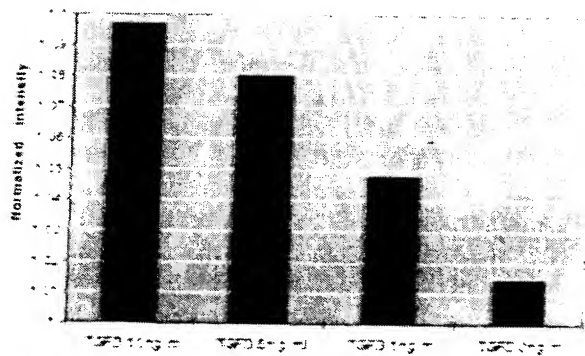
a)



b)

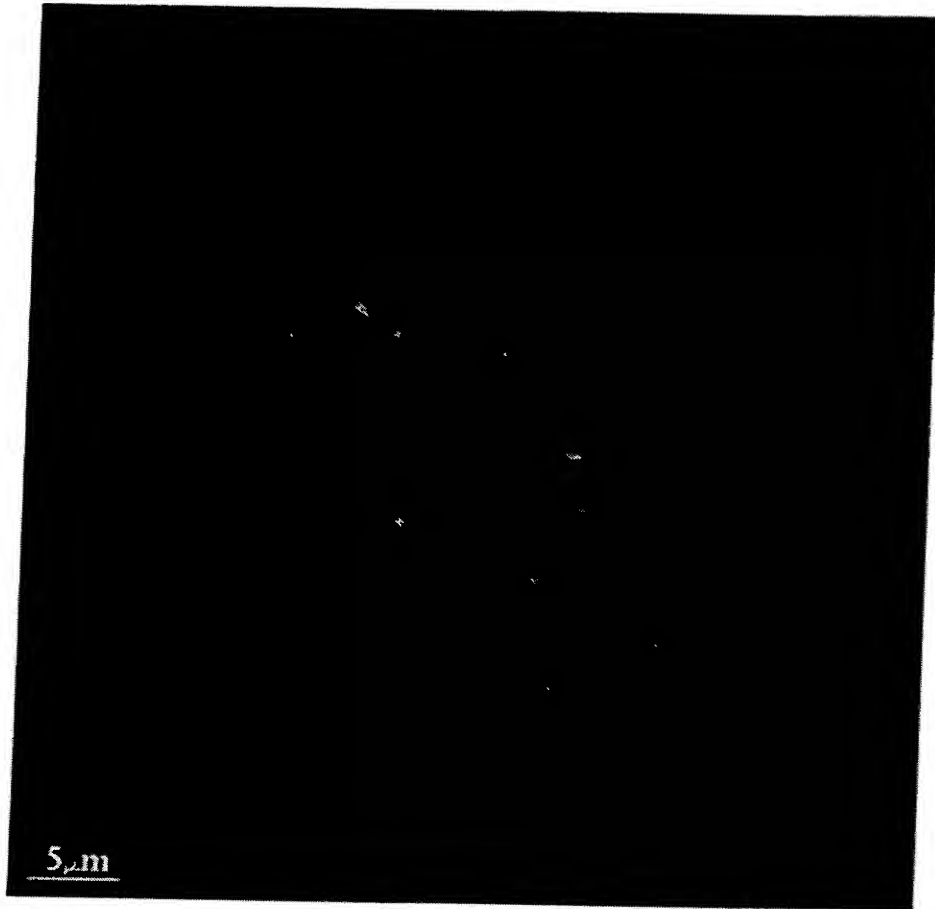


c)



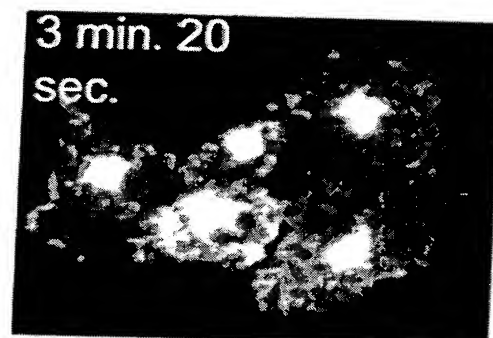
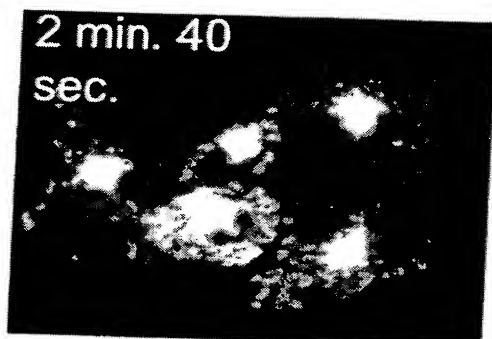
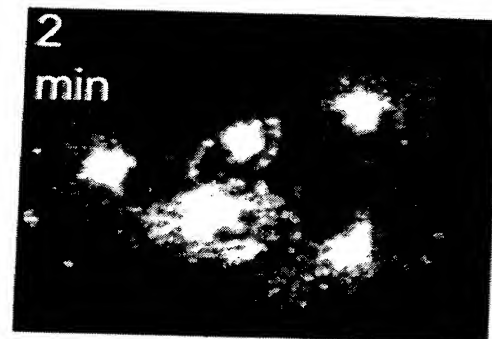
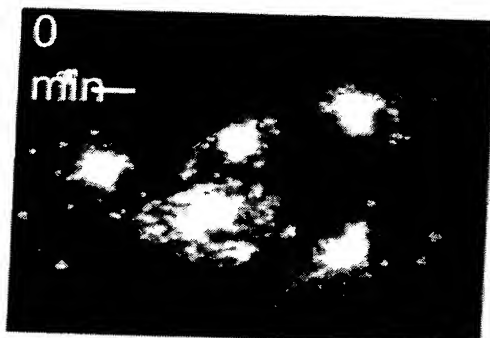
205020"9E02/001

Fig 11



1002036.020500

Fig. 12



10072036-020502